

## ریزرخساره‌ها، محیط رسوبی و چینه‌نگاری سکانسی سازند آسماری در یال جنوبی تاقدیس کوه سیاه، شمال دهدشت، زاگرس

مژگان زارع<sup>۱</sup>، حسین وزیری‌مقدم<sup>۱</sup>، عزیزاله طاهری<sup>۲</sup> و علی غبیشاوی<sup>۳</sup>

۱- گروه زمین‌شناسی، دانشکده علوم پایه، دانشگاه اصفهان، اصفهان

۲- دانشکده علوم زمین، دانشگاه صنعتی شاهroud، شاهroud

۳- معاونت زمین‌شناسی، شرکت ملی مناطق نفت خیز جنوب، شرکت ملی نفت ایران، اهواز

نویسنده مسئول: m.zare201188@yahoo.com

پذیرش: ۹۴/۶/۲۳ دریافت: ۹۴/۱۱/۱۲

### چکیده

سازند آسماری در حوضه زاگرس طی الیگومن-میوسن نهشته شده است. در این پژوهش جهت بررسی ریزرخساره‌ها، محیط رسوبی و چینه‌نگاری سکانسی این سازند در یال جنوبی تاقدیس کوه سیاه، (شمال دهدشت) ۱۲۷ نمونه مورد مطالعه قرار گرفته است. سازند آسماری در برش موردنظر مطالعه ۲۱۴ متر ضخامت داشته و متشکل از آهک‌های خشیم، متوسط تا نازک لایه با میان لایه‌هایی از آهک مارنی، آهک دولومیتی و مارن می‌باشد. مطالعات پتروگرافی و آنالیز ریزرخساره‌ای حاکی از آن است که کربنات‌های سازند آسماری متشکل از ۱۱ ریزرخساره در قالب چهار کمریند ریزرخساره‌ای دریای باز، سد، تالاب و پنهانه جزو مردمی در بک پلاتفرم کربناته رمپ نهشته شده است. بر طبق الگوهای عمیق و کم عمق شدگی ریزرخساره‌ها یک بسته رسوبی فرازین به سن شاتین، سه سکانس درجه سه به سن آکیتانی و یک سکانس درجه سه به سن بوردیگالین تشخیص داده شده است.

**واژه‌های کلیدی:** الیگومن-میوسن، چینه‌نگاری سکانسی، رمپ کربناته، ریزرخساره، سازند آسماری.

از آنجایی که سازند آسماری اولین سنگ مخزن کربناته شناخته شده در جهان و بزرگترین سنگ مخزن نفت در حوضه رسوبی زاگرس است مطالعات گستردگی روی این سازند انجام گرفته است به عنوان مثال. زیست‌چینه‌نگاری این سازند توسط [۴۲، ۴۱، ۲۹، ۵، ۲۱، ۲۰، ۲۹ و ۲۴، ۷، ۴۱] مطالعه شده است. هم‌چنین محیط رسوبی و چینه‌نگاری سکانسی آن توسط [۴۲ و ۴۴] و پالکاکولوژی آن توسط [۳۱، ۷، ۲ و ۳۵] مورد بررسی قرار گرفته است. شناسایی و بررسی دقیق‌تر این سازند بر اساس ریزرخساره‌ها و چینه‌نگاری سکانسی اطلاعات مفید و ارزشمندی را جهت مطالعات و فعالیت‌های اکتشافی در این حوضه به دست خواهد داد. هدف از این مطالعه بررسی دقیق ریزرخساره‌ها و چینه‌نگاری سکانسی بر اساس روزنباران کفسی و سنگ‌شناسی سازند آسماری در برش یال جنوبی تاقدیس کوه سیاه می‌باشد. بر اساس پراکندگی روزنباران بزرگ بننیک سن شاتین پسین-بوردیگالین برای این سازند در این برش در نظر گرفته

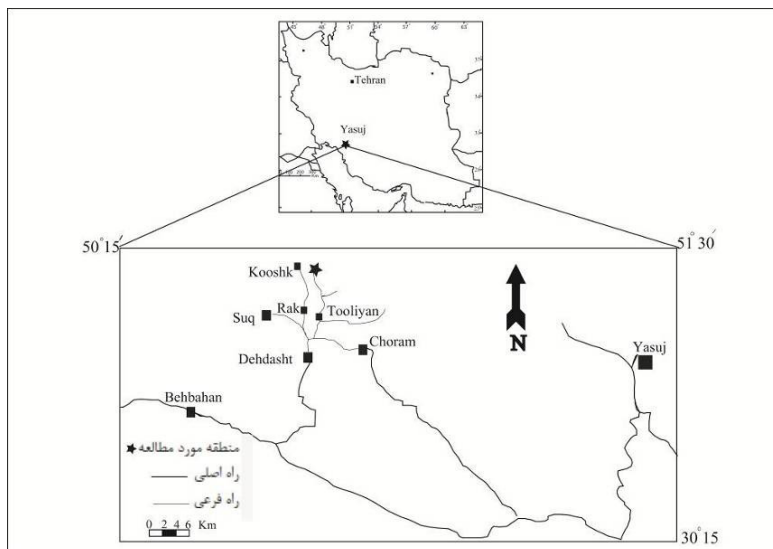
### مقدمه

سازند آسماری، توالی ضخیمی از سنگ‌های کربناته به سن الیگو-میوسن در جنوب‌غربی ایران می‌باشد که در بخش پیش گودال حوضه فورلند زاگرس رسوب‌گذاری نموده است. در برش الگو واقع در تنگ گل ترش در دامنه جنوب‌غربی کوه آسماری سازند آسماری ۳۱۴ متر ضخامت داشته و متشکل از سنگ‌آهک‌های کرم تا قهوه‌ای می‌باشد [۳]. در بخش شمال‌غربی حوضه زاگرس، ریزرخساره‌های آهکی این سازند به صورت بین انگشتی به عضو تبخیری کلهر تبدیل می‌شوند و در جنوب‌شرق حوضه، عضو ماسه‌سنگی اهواز جایگزین ریزرخساره‌های آهکی می‌شود [۲۹] آهک‌های کم‌عمق سازند در بخش جنوب‌غربی حوضه زاگرس بر روی سازند پابده نهشته شده، در حالی که در نواحی فارس و لرستان بر روی سازنددهای جهرم و شهریاران قرار گرفته‌اند. مرز بالایی آن در فارس داخلی سازند رازک و در فارس ساحلی، خوزستان و لرستان سازند تبخیری گچساران می‌باشد [۳].

### موقعیت جغرافیایی و راه‌های دسترسی به منطقه مطالعه

برش مورد مطالعه سازند آسماری در یال جنوبی تاقدیس کوه سیاه در ۱۶/۵ کیلومتری شمال شهرستان دهدشت در استان کهکیلویه و بویراحمد با مختصات جغرافیایی ۳۰ درجه و ۵۴ دقیقه و ۸/۹۲ ثانیه عرض شمالی و ۵۰ درجه و ۳۵ دقیقه و ۳۴/۳۷ ثانیه طول شرقی واقع شده است. این برش از طریق جاده دهدشت-طولیان در نزدیکی روستای هیگون قابل دسترسی می‌باشد (شکل ۱).

شده است. سازند آسماری در منطقه مورد مطالعه به صورت پیوسته و همیشه روی سازند پابده و به صورت پیوسته و همیشه در زیر سازند گچساران قرار گرفته است. این توالی شامل آهک‌های نازک، متوسط و ضخیم لایه با میان لایه‌هایی از آهک مارنی و آهک دولومیتی، مارن می‌باشد. آنالیز چینه‌نگاری سکانسی منجر به شناسایی پنج سکانس رده سوم گردید. سکانس‌های تشخیص داده شده با سکانس‌های شناسایی شده در سایر نواحی زاگرس همخوانی نسبی دارد.



شکل ۱. نقشه ایران و موقعیت منطقه مورد مطالعه [۴].

واحد ۱: از قاعده تا ضخامت ۴۴ متری که شامل آهک‌های نازک و متوسط لایه به رنگ قهوه‌ای تا قهوه‌ای روشن با میان لایه‌هایی از مارن‌های زرد رنگ است. لایه‌های آهکی شامل بیوکلاستهای دوکفه‌ای، شکم پا، مرجان، اکینید و فرامینیفرهای بزرگ می‌باشند.

واحد ۲: از ۴۵ متری تا ۱۱۰ متری که شامل آهک‌های ضخیم تا متوسط لایه به رنگ قهوه‌ای با میان لایه‌هایی از مارن‌های سبز رنگ را شامل شده و حاوی بیوکلاستهای دوکفه‌ای، مرجان و جلبک قرمز می‌باشد.

واحد ۳: از ۱۱۱ متری تا ۱۳۹ متری که متشکل از لایه‌های آهکی و آهک دولومیتی متوسط لایه می‌باشد.

واحد ۴: از ۱۴۰ متری تا ۱۵۷ متری شامل آهک متوسط و ضخیم لایه قهوه‌ای رنگ با میان لایه مارن حاوی خرددهای صدف می‌باشد.

### روش مطالعه

در مرحله نخست برش فوق در صحرا مورد بررسی قرار گرفت و با توجه به ویژگی‌های ریزرسارهای ۱۲۷ نمونه با فاصله تقریبی ۲ متر برداشت و به منظور مطالعات آزمایشگاهی و تشخیص ریزرساره‌ها و تعیین الگوهای کم عمقدگی و عمیق شدگی از آن‌ها مقاطع نازک تهییه گردید. تقسیم‌بندی ریزرساره‌ها بر مبنای طبقه‌بندی [۲۳] و شناسایی بافت‌ها بر اساس رده‌بندی [۲۰ و ۲۱] انجام شده است.

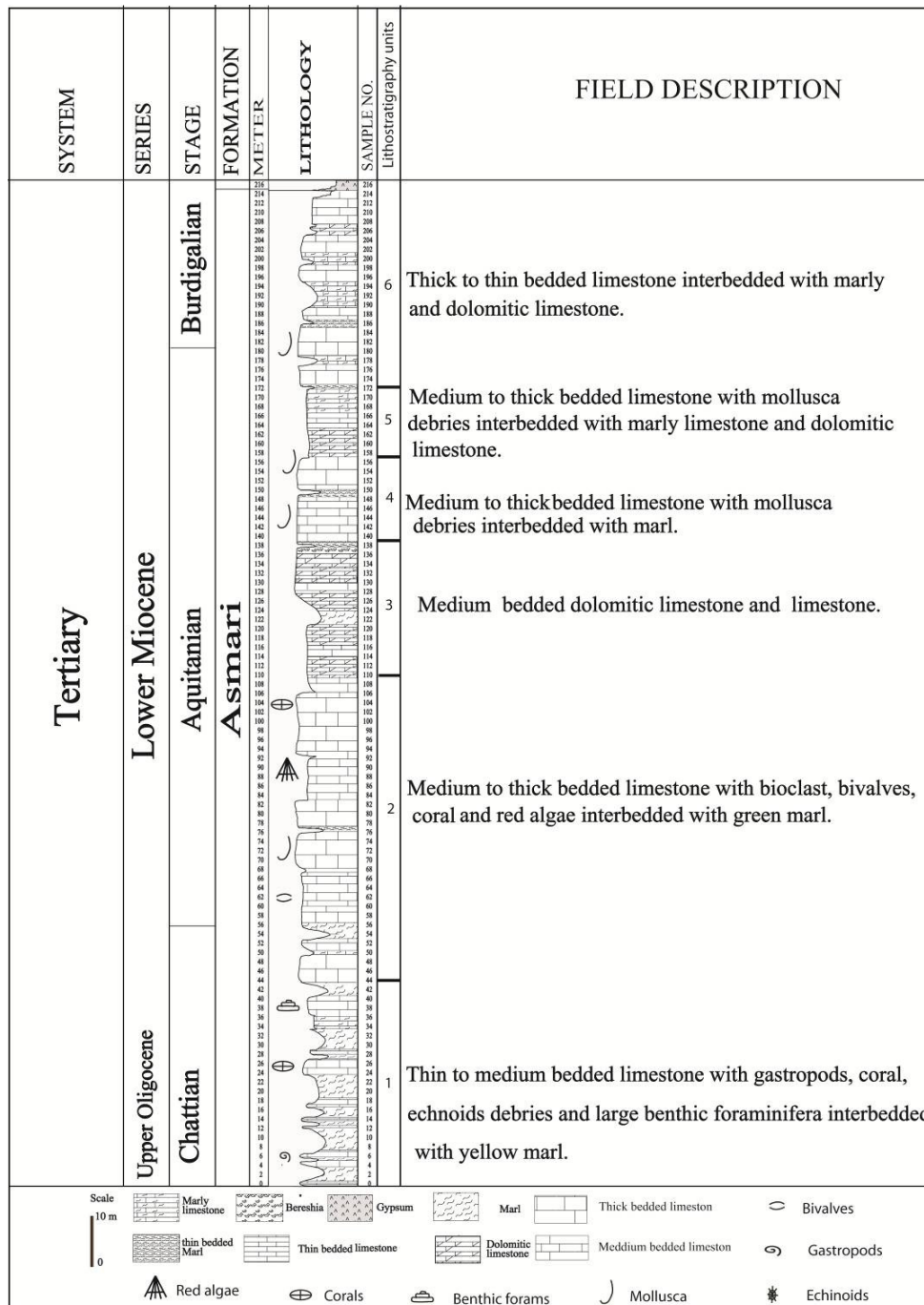
### بحث

#### سنگ‌چینه‌نگاری سازند آسماری در برش مورد مطالعه

سازند آسماری در منطقه مورد مطالعه ۲۱۴ متر ضخامت داشته و بر اساس ویژگی‌های صحرایی قابل تقسیم به واحدهای زیر است (شکل ۲).

واحد ۶: از ۱۷۳ متری تا ۲۱۴.۱ متری شامل آهک‌های ضخیم لایه با میان لایه‌هایی از مارن که به سمت بالا آهک‌ها متوسط و نازک لایه می‌شوند.

واحد ۵: از ۱۵۸ متری تا ۱۷۲ متری شامل آهک‌های متوسط تا ضخیم لایه قهوه‌ای رنگ حاوی بیوکلاست دوکفه‌ای و آهک دولومیتی و آهک مارنی متوسط لایه می‌باشد.



شکل ۲. ستون سنگ‌چینه‌نگاری سازند آسماری در یال جنوبی تاقدیس کوه سیاه

کاهش نور روزن‌داران برای افزایش جذب نور سطح خود را گسترش می‌دهند [۲۵]. روزن‌داران بزرگ کفزی دارای هم‌زیست جلبکی سازگار به شرایط الیگوتروفی می‌باشند [۱۲]. مشابه این ریزرخساره از شمال اهواز و شمال شرقی لالی [۴۳] ناحیه چمن بلبل [۹] و ناحیه شمال غرب حوضه زاگرس [۴۴] از سازند آسماری گزارش شده است.

### ریزرخساره ۳: بایوکلاستیک رودولیت/مرجان

لپیدوسيکلینا فلوتسون-روdstون  
دانه‌های اصلی شامل مرجان (۱۰ درصد)، لپیدوسيکلینا (Lepidocyclina) (۲۵ درصد)، جلبک قرمز (۱۰ درصد) و بايوکلاستها شامل خرده‌های دوکه‌ای، اکینید و بریوزوئر (۱۰-۱۵ درصد) می‌باشد. (شکل ۳-۳) دانه‌ها در متن میکرایتی با بافت گل‌پشتیبان تا دانه‌پشتیبان بوده و بیش از ۵۰ درصد دانه‌ها بزرگ‌تر از ۲ میلی‌متر می‌باشند. مرجان‌ها به صورت پراکنده و جلبک‌های قرمز هم عموماً به صورت ردولیت که مرجان‌ها را احاطه کرده‌اند دیده می‌شوند. لپیدوسيکلیناها نسبت به ریزرخساره قبلی کمی عدسی‌تر و کوچک‌تر شده‌اند و محیط کم عمق تری را نشان می‌دهند [۱۱ و ۱۲].

فراآنی جلبک قرمز کورالیناسه آ، روزن‌داران کفزی عدسی شکل و همراهی آن‌ها با مرجان‌ها بیانگر رسوب‌گذاری ریزرخساره در زون نوری الیگوفوتیک یا مژوفوتیک [۳۳] می‌باشد. مشابه این ریزرخساره از سازند آسماری در ناحیه فارس گزارش شده است [۳۸].

### ریزرخساره ۴: بایوکلاستیک لپیدوسيکلینا روdstون

دانه‌های اصلی شامل خرده‌های نرمتنان (۳۰-۲۰ درصد) و لپیدوسيکلینا (Lepidocyclina) (۴۰-۳۰ درصد) می‌باشد (شکل ۴-۳). وجود لپیدوسيکلینیدهای تخم مرغی شکل نشان دهنده عمق کمتری نسبت به ریزرخساره‌های قبلی و هم‌چنین گویای انرژی هیدرودینامیکی بیشتری در محیط می‌باشد [۱۰]. این ریزرخساره بیانگر بخش کم عمق حوضه است. مشابه این ریزرخساره از سازند آسماری در ناحیه فارس گزارش شده است [۳۸].

### تجزیه و تحلیل ریزرخساره‌ها

بر اساس تجزیه و تحلیل پتروگرافی در توالی مورد مطالعه ۱۱ ریزرخساره تشخیص داده شده است (جدول ۱، شکل‌های ۳ و ۴).

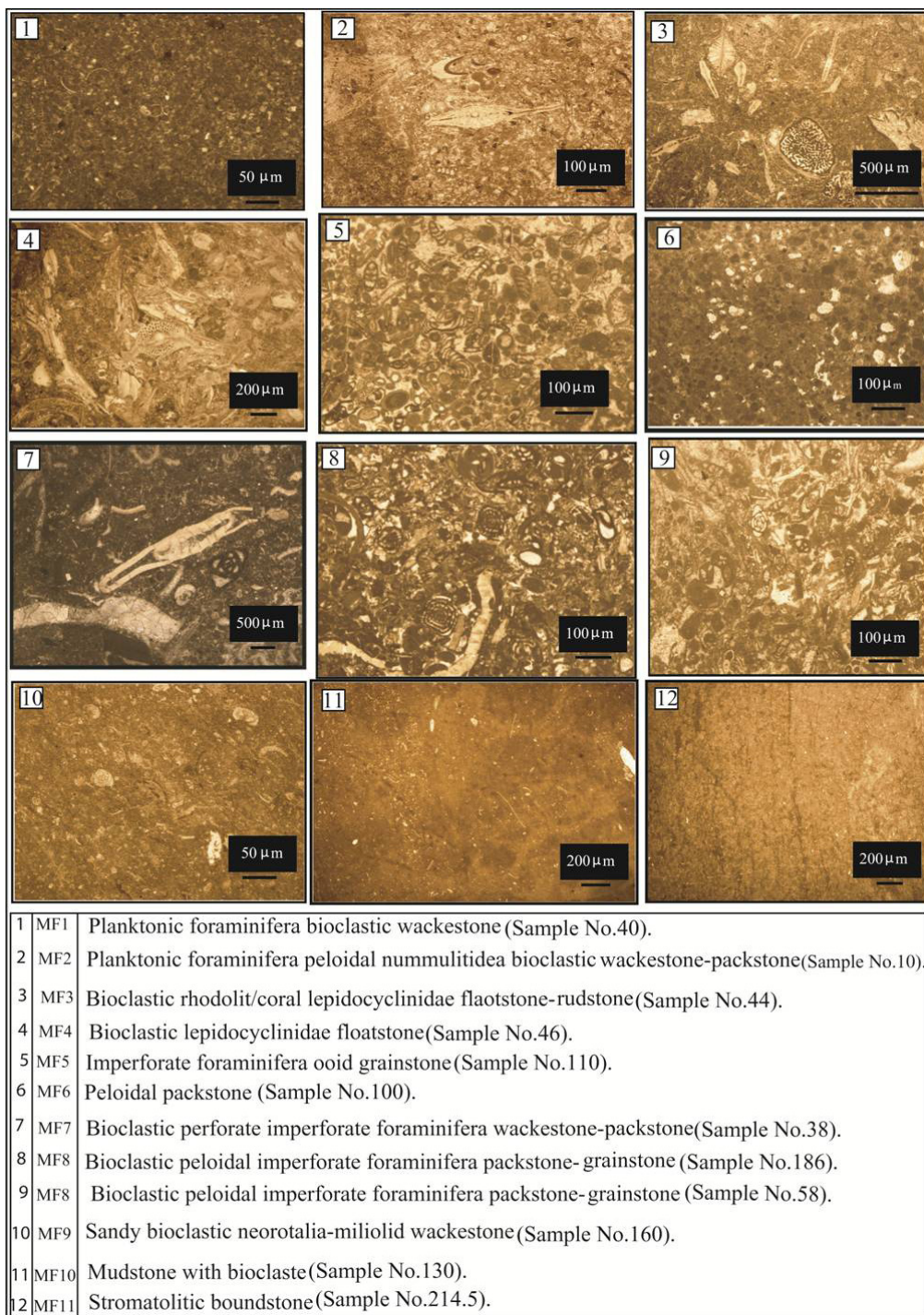
### ریزرخساره ۱: پلانکتونیک فرامینیفرا بایوکلاستیک

#### وکستون

دانه‌های اصلی تشکیل‌دهنده این ریزرخساره شامل روزن‌داران پلانکتون (Globigerina, Globorotalia) (۱۰-۵ درصد) و بايوکلاستها شامل دیتروپا، خرده‌های اکینید، بریوزوئر و نرمتنان (۳۰-۲۰ درصد) می‌باشد. بافت این ریزرخساره گل‌پشتیبان و از نوع وکستون است (شکل ۳-۱). بايوکلاست‌های اصلی درشت و شکسته شده و در زمینه‌ای از بايوکلاست‌های ریز و خرد شده قرار گرفته‌اند. حضور روزن‌داران پلانکتون و نبود روزن‌داران کفزی هم (Lepidocyclina و Nummulitidae) زیست‌دار نظیر (Nummulitidae) بیانگر جایگاه این ریزرخساره در زیر زون نوری می‌باشد [۱۹]. حضور روزن‌داران پلانکتون، بافت ریز دانه و عدم ساخت رسوبی گویای این است که این ریزرخساره در محیط آبهای آرام و عمیق و در شوری عادی دریایی نهشته شده است [۲۳، ۱۵ و ۴۵]. مشابه این ریزرخساره از رسوبات قاعده سازند آسماری مربوط به بخش عمیق دریایی باز در شمال و شمال‌شرقی لالی [۴۳]، در ناحیه چمن بلبل [۹]، در شمال‌غرب حوضه زاگرس [۴۴] و در طاقدیس خویز [۳۵] گزارش شده است.

### ریزرخساره ۲: پلانکتونیک فرامینیفرا پلوئیدال

نومولیتیده بايوکلاستیک وکستون/پکستون  
دانه‌های اصلی شامل روزن‌داران پلانکتون (۵ درصد)، اپرکولینا (Operculina) (۸ درصد) اسپیروکلیپتوس (Spiroclypeus) (۱۵ درصد)، پلوئید (۸ درصد) و بايوکلاست‌ها شامل خرده‌های اکینید، بریوزوئر و نرمتنان (۳۰-۲۵ درصد) می‌باشد. متن این ریزرخساره میکرایت و بافت آن از گل‌پشتیبان تا دانه‌پشتیبان متغیر است (شکل ۲-۳). روزن‌داران کفزی هم‌زیست‌دار با صدفی بزرگ در زمینه‌ای از بايوکلاست‌های خرد شده قرار گرفته‌اند. حضور هم زمان روزن‌داران پلانکتون و روزن‌داران کفزی هم‌زیست‌دار بیانگر آخرین بخش زون نوری، شرایط نوری الیگوفوتیک می‌باشد. در این شرایط به علت



شکل ۳. ریزخسارهای سازند آسماری در برش تاقدیس کوه سیاه

ریزخساره ۵: فرامینی فرا (بدون منفذ) ائید دهنده گان اصلی این ریزخساره است. ائیدها از نوع مماسی بوده و از گردشگی نسبتاً خوبی برخوردار هستند. هسته بعضی ائیدها میلیولید می‌باشد و برخی از ائیدها هم میکریتی شده‌اند. حضور ائیدها نشان‌دهنده محیط پر

گرینسنستون دانه‌های اصلی شامل روزن‌داران (بدون منفذ) (پنروپلیس)، دندربیتینا (Dendritina)، اسپیروولینا (Spirolina) و دانه‌های ائید (۴۰-۳۵ درصد))

مشابه این ریزرساره از سازند آسماری در طاقدیس خویز [۳۵] و ناحیه فارس [۳۸] گزارش شده است.

#### ریزرساره ۶: بایوکلاست نئوروتالیا میلیولید و کستون ماسه‌ای

دانه‌های اصلی شامل نئوروتالیا (Neorotalia) (۱۰ درصد)، میلیولید (Miliolid) (۷ درصد) و بایوکلاست‌ها (۵ درصد) شامل خردۀای اکینید، دیسکوربیس (Discorbis)، الفیدیوم (Elphidium) و خردۀای نرمتنان می‌باشد (شکل ۱۰-۳). بافت سنگ، موقعیت چیننهنگاری و تنوع کم فرامینی فرا حاکی از تشکیل این ریزرساره در محیط لاغون با چرخش محدود آب محدود می‌باشد [۲۴، ۴۵] و [۲۳] مشابه این ریزرساره از سازند آسماری در طاقدیس خویز [۳۵] و شمال‌غرب حوضه زاگرس [۴۴] گزارش شده است.

#### ریزرساره ۷: مادستون به همراه خردۀای بایوکلاست

این ریزرساره آهک گلی است که فونای محدودی (۸-۵ درصد) شامل میلیولید (Miliolid)، الفیدیوم (Elphidium) و نئوروتالیا (Neorotalia) به صورت پراکنده در آن دیده می‌شود (شکل ۱۱-۳). تنوع و فراوانی کم فونا نشانگر ته نشست این ریزرساره در لاغون نسبتاً محصور (به سمت پهنه جزر و مدی) می‌باشد [۴۵ و ۳۶] مشابه این ریزرساره از تاقدیس خویز [۳۵] و تاقدیس دیل [۸] گزارش شده است.

#### ریزرساره ۱۱: استروماتولیت باندستون

این ریزرساره از لامینه‌های استروماتولیتی (۱۰۰ درصد) تشکیل شده که به صورت لایه‌های تیره و روشن می‌باشد (شکل ۱۲-۳). این ریزرساره در پهنه جزر و مدی ته نشین شده است [۲۳]. عدم وضوح لایه‌های تیره و روشن به دلیل تشکیل این ریزرساره در کمربند ۸ و زیست آشفتگی ناشی از حضور گاستروپودها می‌باشد. مشابه این ریزرساره از سازند آسماری در ناحیه دهلران [۴۴] و ناحیه چمن بلبل [۹] گزارش شده است.

انرژی است [۱۳]. با توجه به نبود گل آهکی و فراوانی زیاد دانه‌ها، نظیر ائید این ریزرساره در یک محیط پر انرژی سدی یا پشتۀای نهشته شده است [۴۵ و ۲۳]. مشابه این ریزرساره از میدان نفتی رگ سفید [۱۰] و شمال‌غرب حوضه زاگرس [۴۴] گزارش شده است.

#### ریزرساره ۶: پلوئید پکستون

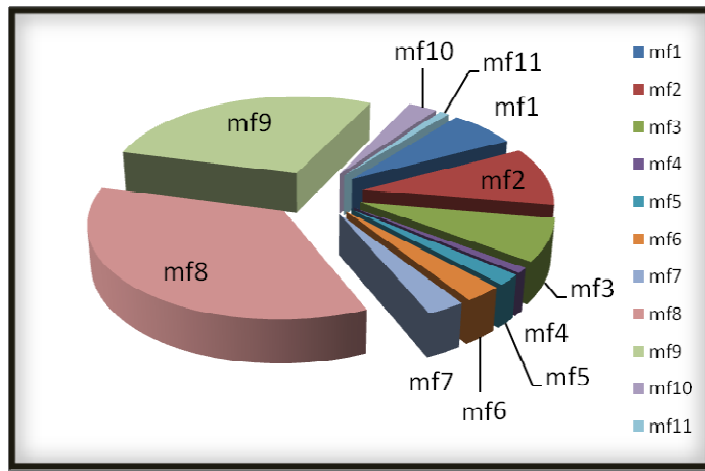
دانه‌های اصلی شامل اثیدهایی تا حدودی میکراتی شده و پلوئیدهای باهامیت می‌باشد (شکل ۶-۳). حضور فراوان پلوئیدهایی از نوع باهامیت حاکی از تشکیل آن‌ها در شلف لاغون می‌باشد [۲۳].

#### ریزرساره ۷: بایوکلاستیک فرامینی فرا (منفذدار و بدون منفذ) و کستون-پکستون

دانه‌های اصلی شامل روزن‌داران بدون منفذ مانند آستروتریلینا (Austrotrillina)، پیرگو (Pyrgo) (۲۰-۱۵) روزن‌داران منفذدار (Lepidocyclina) و Nummulitidae (شکل ۳-۷). بافت این ریزرساره از گل پشتیبان تا دانه‌پشتیبان متغیر است. حضور هم زمان روزن‌داران بنتیک منفذدار و بدون منفذ به همراه مرجان و اکینید بیانگر لاغون باز [۴۰] و عدم وجود سد پیوسته می‌باشد. مشابه این ریزرساره از تاقدیس خویز [۳۵] و ناحیه فارس [۳۸] گزارش شده است.

#### ریزرساره ۸: بایوکلاستیک پلوئیدال فرامینی فر (بدون منفذ) پکستون-گرینستون اینتراکلاستدار

دانه‌های اصلی شامل روزن‌داران بدون منفذ (Peneroplis) (۳۰ درصد)، Miliolid، Borelis، Dendritina و درصد، اینتراکلاست (۳۵ درصد) و بایوکلاست‌ها شامل خردۀای اکینید (۵ درصد) می‌باشد (شکل ۸-۳ و ۹). بافت این ریزرساره پکستون تا گرینستون با تنوع بالای روزن‌داران بدون منفذ می‌باشد. ریزرساره‌های سکوی داخلی با حضور فراوان روزن‌داران بدون منفذ کفزی مانند میلیولید، بورلیس، پنروپلیس مشخص می‌شود. ریزرساره‌های مشابه از شلف لاغون نیز گزارش شده است [۱۸، ۳۲ و ۴۳].



شکل ۴. نمودار فراوانی نسبی ریزرخساره‌ها در تاقدیس کوه سیاه

همراه خرددهای بیوکلاست) است. اجزاء تشکیل‌دهنده این ریزرخساره‌ها در متنی میکرایتی و یا گاهی سیمان اسپاریتی قرار گرفته‌اند. اجزاء آلی اصلی این ریزرخساره‌ها شامل روزن‌داران کفzی با دیواره بدون منفذ نظیر Miliolids، Borelis، Dendritina، Peneroplis)، روزن‌داران کفzی با دیواره منفذدار (Austrotrillina، Neorotalia، Lepidocyclus، Nummulitidae)، ریزرخساره ۸ و ۶ وجود دارند. پلؤید‌ها در ریزرخساره ۶ ریزرخساره ۸ وجود دارند. پلؤید‌ها و اینتراکلاست در ریزرخساره ۲۴ و ۲۳ باشند. از اجزاء غیر آلی، پلؤید‌ها و اینتراکلاست در ریزرخساره ۲۳ و ۲۴ باشند. پلؤید‌ها در ریزرخساره ۶ ریزرخساره از جمله زمینه میکرایتی، فراوانی روزن‌داران Dendritina، Miliolid)، کفzی خاص محیط تالاب نظیر (Borelis)، ریزرخساره‌های همراه و تطبیق آن‌ها با ریزرخساره‌های کمربند ریزرخساره‌ای شماره ۲ [۱۵]، بیانگر تهنشست این ریزرخساره‌ها در محیط تالاب می‌باشد [۲۴، ۲۳].

اجزای ریزرخساره ۷ به ریزرخساره ۸ شبیه بوده اما تجمعات اسکلتی آن نسبت به ریزرخساره ۸ متنوع‌تر و ریزرخساره ۷ می‌باشد. تنوع روزن‌داران زی از تالاب باز به تالاب محدود شده کاهش پیدا می‌کند. با توجه به پیدایش همزمان روزن‌داران کفzی با دیواره بدون منفذ و روزن‌داران منفذدار ریزرخساره ۷ در بخش تالاب نزدیک سد نهشته شده است [۱۹، ۲۸، ۳۸، ۴۴، ۳۳].

شواهد موجود در ریزرخساره مادستون بیوکلاست‌دار (Rizorxساره ۱۰) یعنی درصد کم بایوکلاست، وجود

#### تفسیر ریزرخساره‌ها

مطالعه ریزرخساره‌ها در بازسازی شرایط محیط قدیمه و تحلیل سکانس‌های رسوبی نقش موثری دارد.

بررسی مجموعه ریزرخساره‌های سازند آسماری در یال جنوبی تاقدیس کوه سیاه و مقایسه این مجموعه با کمربندهای ریزرخساره‌ای [۱۵] نشان می‌دهد که این ریزرخساره‌ها در پنج گروه محیطی تهنشست شده‌اند که به ترتیب از ساحل به طرف حوضه عبارتند از:

#### گروه ۱- ریزرخساره پهنه جزر و مدي

ریزرخساره (۱۱) استروماتولیت باندستون معرف محیط پهنه جزو مدي می‌باشد. این ریزرخساره به صورت تناوب لایه‌های تیره و روشن دیده می‌شود که لایه‌های تیره حاکی از فعالیت سیانوبکتری‌ها است. شواهد موجود در این ریزرخساره و تطبیق آن‌ها با ریزرخساره‌های استاندارد کمربند ریزرخساره‌ای شماره ۹ ویلسون و فلوگل بیانگر تهنشست این ریزرخساره در محیط پهنه جزر و مدي است [۶، ۲۷، ۳۹، ۳۰ و ۲۶].

#### گروه ۲- مجموعه ریزرخساره‌های تالاب

این مجموعه شامل ریزرخساره ۶ (پلؤید پکستون)، ریزرخساره ۷ (بایوکلاستیک فرامینیفرَا (منفذدار و بدون منفذ) وکستون-پکستون)، ریزرخساره ۸ (بایوکلاستیک پلؤیدال فرامینیفرَا (بدون منفذ) پکستون-گرینستون اینتراکلاست‌دار)، ریزرخساره ۹ (بایوکلاست نثوروتالیا میلیولید وکستون ماسه‌ای) و ریزرخساره ۱۰ (مادستون به

به فراوانی دانه‌هایی با قطر بزرگ‌تر از ۲ میلی‌متر بافت سنگ فلوتستون-رودستون می‌باشد. وجود غالب جلبک قرمز کورالیناسه آ و روزن‌داران کفzی عدسی شکل و همراهی آن‌ها با مرجان‌ها در این ریزرساره بیانگر رسوب‌گذاری آن در زون نوری الیگو فوتیک یا مزووفوتیک می‌باشد [۱۴، ۱۲، ۱۸، ۱۳، ۳۴ و ۳۳].

**گروه ۵- ریزرساره‌های دریایی باز (رمپ خارجی)**  
ریزرساره ۱ (پلانکتونیک فرامینی فرا بایوکلاستیک وکستون) معرف ژرف‌ترین بخش دریایی باز است. وجود شواهدی از قبیل فراوانی روزن‌داران شناور Globigerina (Globorotalia) و وجود زمینه میکرایتی تیره رنگ بیانگر تهنشست این ریزرساره‌ها در زیر سطح اساس امواج در شرایط طوفانی است. فقدان فونای هم‌زیست نشانگر نهشته شدن ریزرساره فوق در زیر منطقه نورانی است [۱۹]. انطباق این ریزرساره‌ها با ریزرساره‌های کمریند ریزرساره‌ای شماره ۸ [۱۵] نشان‌دهنده تهنشست آن‌ها در شرایط محیطی رمپ خارجی است.

#### مدل رسوبی

بررسی مجموعه ریزرساره‌های سازند آسماری در منطقه مورد مطالعه و مقایسه این مجموعه با کمریندهای ریزرساره‌ای [۱۵] نشان می‌دهد که این ریزرساره‌ها در پنج گروه محیطی و تحت شرایط رمپ کربناته تهنشست شده‌اند [۱۴ و ۲۳]. این مدل شامل یک دریای باز و تالاب کم عمق است که توسط سد بایوکلاستیک از یکدیگر جدا شده‌اند. ریزرساره پلانکتونیک فرامینی فرا بایوکلاستیک وکستون ژرف‌ترین ریزرساره موجود در سازند آسماری را تشکیل می‌دهد. بخش‌های کم‌عمق‌تر دریای باز با ریزرساره‌ای بایوکلاستیک رودولیت/کورال لپیدوسیکلینیده فلوتستون- رودستون و بایوکلاستیک لپیدوسیکلینیده روتسون مشخص می‌گردد. این ریزرساره‌ها در زیر سطح اساس امواج نهشته شده‌اند. ریزرساره فرامینی فرا (بدون‌منفذ) ائید گرینستون در محدوده سطح اساس امواج نهشته شده و سد سازند آسماری را در ناحیه مورد مطالعه تشکیل می‌دهد. وجود سیمان حاکی از آن است که گل کربناته در اثر افزایش انرژی از محیط شسته شده و فضای خالی توسط سیمان پر شده است. فراوانی روزن‌داران بدون‌منفذ نشانگر

میکریت، فقدان شواهد خروج از آب و موقعیت چینه‌نگاری حاکی از تهنشست این ریزرساره در تالاب به سمت ساحل است.

#### گروه ۶- ریزرساره سد یا بار

ریزرساره ۵ (فرامینی فرا (بدون‌منفذ) ائید گرینستون) نشانگر محیط سد می‌باشد. اجزاء اصلی تشکیل‌دهنده این ریزرساره ائید و روزن‌داران بدون‌منفذ Spirolina, Dendritina, Peneroplis نوع مماسی است. هسته بعضی ائیدها میلیولید می‌باشد و برخی از ائیدها میکرایتی شده‌اند. اندازه ائیدها ۱/۵ تا ۵/ میلی‌متر متغیر است.

شواهدی از قبیل بافت سنگ (گرینستون)، جورش‌گی خوب و گسترش سیمان نشانگر بالا بودن انرژی محیط در زمان تشکیل این ریزرساره است. مقایسه این ریزرساره با ریزرساره‌های کمریند ریزرساره‌ای شماره ۳ [۱۵] نشانگر تهنشست ریزرساره فوق در محیط سد یا بار است [۲۳ و ۴۵].

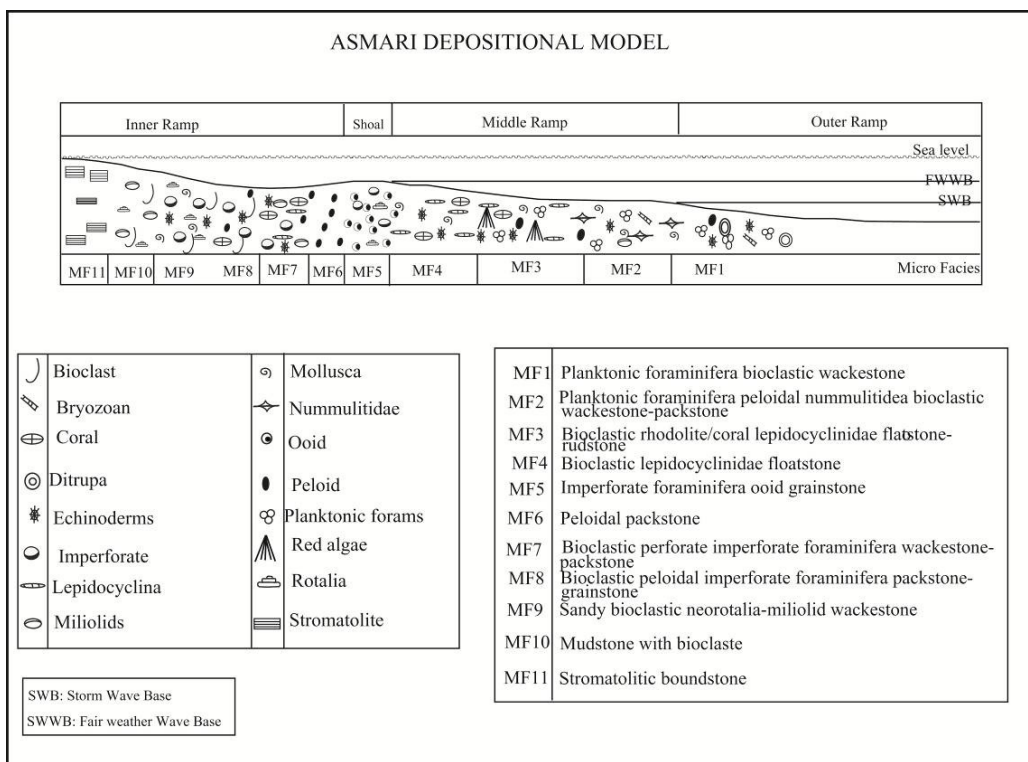
#### گروه ۷- مجموعه ریزرساره‌های دریایی باز (رمپ میانی):

این مجموعه شامل ریزرساره ۲ (پلانکتونیک فرامینی فرا پلائیدال نومولیت بایوکلاستیک وکستون/پکستون)، ریزرساره ۳ (بایوکلاستیک رو دولیت/کورال لپیدوسیکلینا فلوتستون- رودستون) و ریزرساره ۴ (بایوکلاستیک لپیدوسیکلینا روتسون) می‌باشد. اجزاء اصلی این ریزرساره‌ها را خرده‌های اسکلتی اکینید، بریوزوئر، کورالیناسه آ و روزن‌داران کفzی با دیواره منفذدار نظری Nummulitidae و Lepidocyclus) تشکیل می‌دهند. شواهد موجود در این گروه ریزرساره‌ها از قبیل مشخصات فونی و علاوه بر این تطابق با ریزرساره‌های کمریندهای ریزرساره‌ای شماره ۵ و ۶ [۱۵]، بیانگر تهنشست این ریزرساره‌ها در محیط دریای باز و در محدوده بالای سطح اساس امواج طوفانی و زیر سطح اساس امواج عادی است که به رمپ میانی نسبت داده می‌شود. ریزرساره ۲ با مخلوط روزن‌داران کفzی با دیواره منفذدار و روزن‌داران شناور حاکی از تهنشست رسوبات در زیر محیط دامنه بین سطح اساس امواج در شرایط عادی و شرایط طوفانی است و معرف عمیق‌ترین بخش انتهایی رمپ میانی است. در ریزرساره ۳ با توجه

رمپ میانی و داخلی متغیر بوده است. ولی بیشتر شرایط رمپ داخلی در این منطقه حکم‌فرما بوده است. در طی الیگومن در این منطقه شرایط رمپ خارجی حکم‌فرما بوده است که طی آن آسماری تحتانی تهنشست پیدا کرده است. به تدریج با کم عمق شدن حوضه در طی میوسن رسوبات بخش داخلی که گاهی به رمپ میانی متغیر می‌کرده تشکیل شده‌اند. در نهایت در اواخر بوردیگالین با خارج شدن دائمی این رمپ کربناته از زیر آب رسوب‌گذاری سازند آسماری به پایان می‌رسد و رسوب‌گذاری نهشته‌های تبخیری سازند گچساران آغاز می‌گردد (شکل ۵).

رسوب‌گذاری در محیط تالاب است. بر اساس نوع تجمعات اسکلتی تالاب قابل تقسیم به تالاب محصور و نیمه محصور است. تالاب نیمه محصور با پیدایش همزمان روزن داران کفzی منفذدار و بدون منفذ مشخص می‌گردد. مشخصات فونا حاکی از رسوب‌گذاری در آب‌های کم عمق، یوفوتیک و شرایط کم انرژی است [۱۶].

تالاب محصور با تنوع کم روزن داران کفzی و فراوانی روزن داران کفzی بدون منفذ مشخص می‌شود. استروماتولیت باندستون معرف ریزرساره پهنه جزو مدی است. در زمان تهنشست این ریزرساره‌ها یعنی الیگومن تا میوسن شرایط محیطی از رمپ خارجی تا



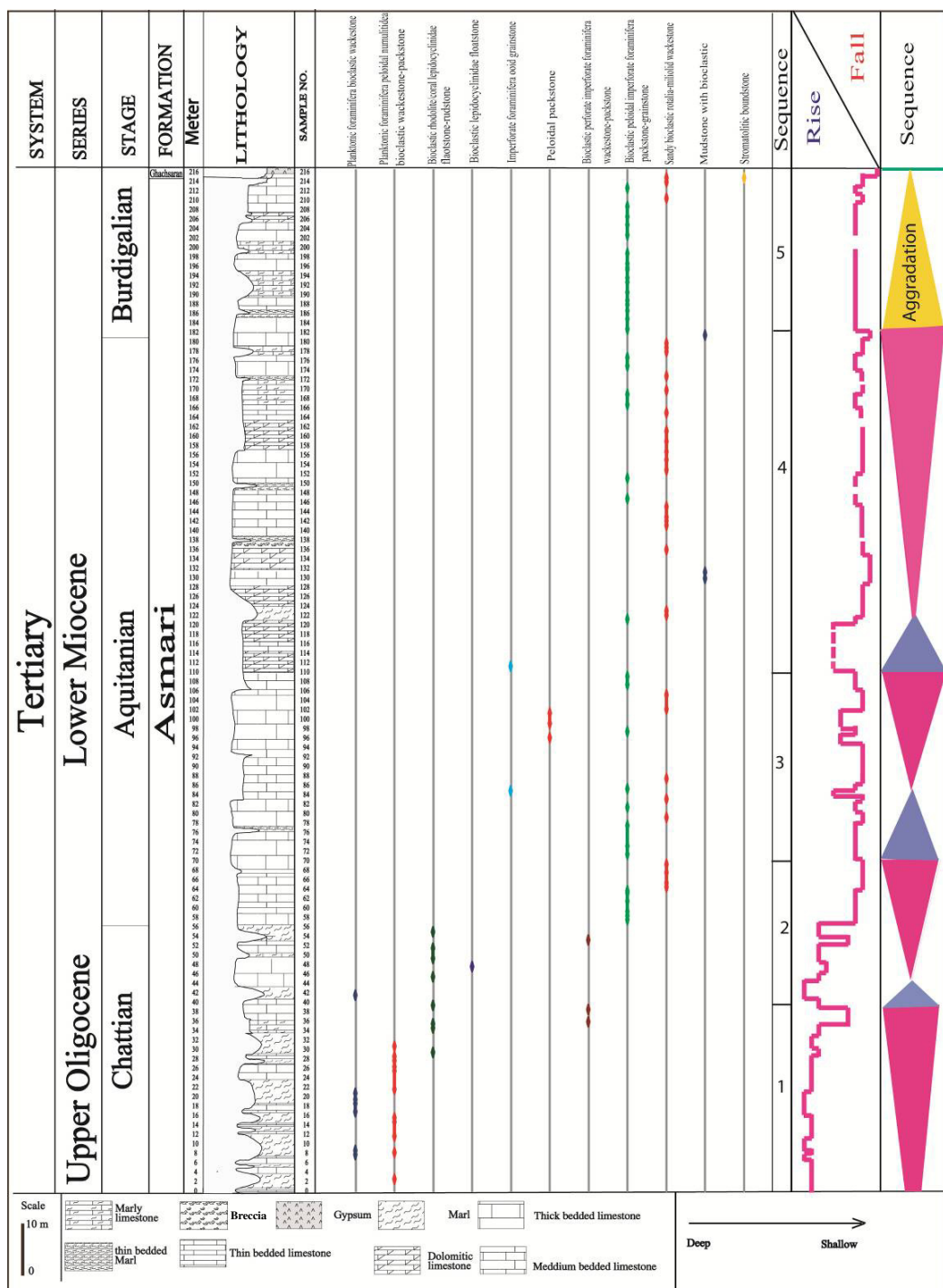
شکل ۵. مدل رسوبی سازند آسماری در برش مورد مطالعه

نایپوستگی‌ها و یا پیوستگی‌های قابل تطابق با نایپوستگی‌ها توصیف می‌شوند [۱۶] رسوبات حفظ شده بین مرزهای سکانسی نشانگر الگوهایی از پیشروی، انباستگی و پیش نشینی بوده و بازتابی از تغییرات سطح آب دریا هستند [۱۷]. بر اساس تغییرات عمودی ریزرساره‌ها، چرخه‌های رسوبی و الگوی انباستگی ریزرساره‌ها، به ۵ سکانس رسوبی تقسیم شده است (شکل ۶).

### چینه‌نگاری سکانسی

چینه‌نگاری سکانسی علمی است که به تشخیص و تطابق سطوح چینه‌ای که تغییرات روند رسوب‌گذاری سنگ‌های رسوبی را نشان می‌دهد، می‌پردازد که این تغییرات ناشی از تأثیر رسوب‌گذاری، فرسایش و تغییرات سطح آب جهانی است [۱۶]. مرزهای سکانسی (SB) کلیدی برای تعیین سکانس‌های رسوبی درجه سوم هستند و به صورت

<sup>1</sup>Sequence Boundaries



شکل ۶. ریزخسارهای، تغییرات سطح آب و سکانس رسوبی سازند آسماری در یال جنوبی تاقدیس کوه سیاه

این سکانس شامل رسوبات مارنی سازند پابده و سنگ اهک‌های آسماری تحتانی است. با پیشروی و بالا آمدن سطح آب دریا در الیگوسن، شیل‌های پلاژیک سازند پابده، حاوی روزن‌داران شناور نظیر گلوبیترینا و گلوبورتالیا نهشته گردیده‌اند، این بخش از توالی به دسته

### سکانس رسوبی اول

این سکانس درون بیوزون *Lepidocyclus-Operculina-Ditrupa* قرار دارد که بر اساس مطالعات ون بوخم و همکاران (۲۰۱۰) سن شاتین را نشان می‌دهد.

پکستون - گرینستون) نهشته شده و معرف دسته رسوبی (HST) می‌باشدند. ریزرساره ۹ (بایوکلاستیک نوروتالیا- میلیولیدا وکستون ماسه‌ای) که بخش پایانی سکانس دوم را تشکیل می‌دهد بیانگر پائین افتادن سطح نسبی آب دریا و مرز سکانس نوع دوم (SB<sub>2</sub>) است.

#### سکانس رسوبی سوم

این سکانس نیز در طی اکیتائین درون بیوزون *Peneroplis farsensis*, *Miogypsina* sp., *Elphidium* sp.14 نهشته شده است.

رسوبات پیشرونده این سکانس از ریزرساره تالاب، ریزرساره ۸ (بایوکلاستیک پلوئیدال فرامینیفرا (بدون منفذ) پکستون - گرینستون) تشکیل شده است. بیشترین پیشروی سطح آب دریا (mfs) با ریزرساره ۵ (framینیفرا (بدون منفذ) اوئید گرینستون) مشخص می‌گردد. ریزرساره‌های بخش پایداری سطح آب دریا (HST) از ریزرساره‌های رمپ داخلی، ریزرساره‌های ۶ (پلوئیدال پکستون) و ۸ (بایوکلاست پلوئیدال فرامینیفرا (بدون منفذ) پکستون - گرینستون) تشکیل شده است. ریزرساره ۹ (بایوکلاستیک نوروتالیا- میلیولیدا وکستون ماسه‌ای) بخش پایانی سکانس سوم را تشکیل داده و بیانگر پائین افتادن سطح نسبی آب دریا و مرز سکانسی نوع دوم (SB<sub>2</sub>) است.

#### سکانس رسوبی چهارم

این سکانس در فاصله ۱۰۹ تا ۱۸۰/۵ متری به ضخامت ۷۱/۵ متر می‌باشد. بر اساس بیوزون *Peneroplis farsensis*, *Miogypsina* sp., *Elphidium* sp.14 اکیتائین است. دسته رسوبی پیشرونده این سکانس (TST) شامل ریزرساره ۸ (بایوکلاستیک پلوئیدال فرامینیفرا (بدون منفذ) پکستون - گرینستون) است. ریزرساره ۵ (framینیفرا (بدون منفذ) اوئید گرینستون) معرف سطح حداکثر پیشروی سطح آب دریا می‌باشد. با پر شدن حوضه از رسوبات و کم شدن فضای قابل رسوبرگذاری دسته رسوبی (HST) این سکانس متشكل از ریزرساره‌های ۸ (بایوکلاستیک پلوئیدال فرامینیفرا (بدون منفذ) پکستون - گرینستون) و ریزرساره ۹ (بایوکلاستیک نوروتالیا- میلیولیدا وکستون ماسه‌ای) نهشته گردید. ریزرساره

ریزرساره‌های (TST) نسبت داده شده‌اند. ریزرساره‌های بخش پایداری سطح آب دریا (HST<sup>۱</sup>) به عنوان دومین فاز رسوبی بر روی سطح حداکثر طغیان آب دریا (mfs<sup>۲</sup>) قرار می‌گیرد. سطح حداکثر طغیان آب دریا با مارن‌ها و آهک‌های مارنی بخش انتهایی پابده، حاوی روزن‌داران شناور مشخص می‌گردد. ریزرساره ۲ (پلانکتونیک فرامینیفرا پلوئیدال نومولیتیده بایوکلاستیک وکستون - پکستون) و ریزرساره ۳ (بایوکلاستیک رودولیت / کورال لپیدوسیکلینیده فلوتسنون - رودستون) معرف فاز رسوبی سکون نسبی آب دریا (HST) می‌باشند. با حداکثر پسروی آب دریا و کاهش فضای رسوبرگذاری در این سکانس ریزرساره ۷ (بایوکلاستیک فرامینیفرا (منفذ دار و بدون منفذ) وکستون-پکستون) نهشته شده و معرف مرز سکانسی نوع ۲ می‌باشد.

#### سکانس رسوبی دوم

این سکانس درون بیوزون *Peneroplis farsensis*, *Miogypsina* sp., *Elphidium* sp.14 اساس مطالعات ون بوخم و همکاران (۲۰۱۰) سن اکیتائین را نشان می‌دهد. ضخامت این سکانس ۳۰ متر می‌باشد. رسوبات این سکانس با پیشروی مجدد دریا و ته-نشست کربنات‌های دریایی باز، ریزرساره ۳ (بایوکلاستیک رودولیت / کورال لپیدوسیکلینیده فلوتسنون - رودستون) شروع شده و مجموعه ریزرساره‌ای پیشرونده (TST) را تشکیل می‌دهد. بیشترین پیشروی سطح آب دریا (mfs) با ریزرساره ۱ (پلانکتونیک فرامینیفرا بایوکلاستیک وکستون) مشخص می‌گردد. پس از این مرحله و بعد از حداکثر پیشروی، آهنگ بالا آمدن سطح آب کند می‌شود و رسوبات آهکی در بخش‌های ابتدایی رمپ میانی و رمپ داخلی نهشته شده‌اند. با پر شدن تدریجی حوضه از رسوبات و کم شدن فضای قابل رسوبرگذاری ریزرساره‌های فلوتسنون - رودستون، ریزرساره ۴ (بایوکلاستیک لپیدوسیکلینیده فلوتسنون - رودستون)، ریزرساره ۳ (بایوکلاستیک رودولیت / کورال لپیدوسیکلینیده فرامینیفرا (منفذ دار و بدون منفذ) وکستون پکستون) و ریزرساره ۸ (بایوکلاستیک پلوئیدال فرامینیفرا (منفذ دار

<sup>1</sup>Transgressive System Tract

<sup>2</sup>Highstand System Trac

<sup>3</sup>Maximum flooding surfaces

تنگ بی نرجس، تنگ بند، تنگ نایاب، چاه ۱۹ پارسی و تنگ بولفارس [۱] شکل (۷) با سکانس‌های [۴۲] و [۲۱] مقایسه شده و نتایج زیر به دست آمده است (شکل ۸).

سکانس ۱ به سن شاتین با سکانس III [۴۲] و سکانس Ch30 SB [۲۱] قابل تطابق می‌باشد. این سکانس در همه برش‌ها دیده می‌شود. مرز فوکانی این سکانس در برش‌های نایاب، بولفارس و پارسی ۱۹ با اnidiriyت قاعده سازنده تنگ بند با سطح فرسایشی [۱] و در تاقدیس کوه سیاه با ریزرساره ۷ (بایوکلاست فرامینیفرا (منفذدار و بدون منفذ) وکستون - پکستون) مشخص می‌شود. توالی این سکانس در تنگ بی نرجس در رمپ میانی و داخلی سکانس در برش تاقدیس کوه سیاه نهشته شده است. این سکانس در برش تاقدیس کوه سیاه دسته رسوبی (HST) را شامل شده و رسوب‌گذاری آن در شلف خارجی، میانی و داخلی صورت گرفته است. ضخامت این سکانس از سمت جنوب شرق به سمت شمال غرب کاهش پیدا می‌کند.

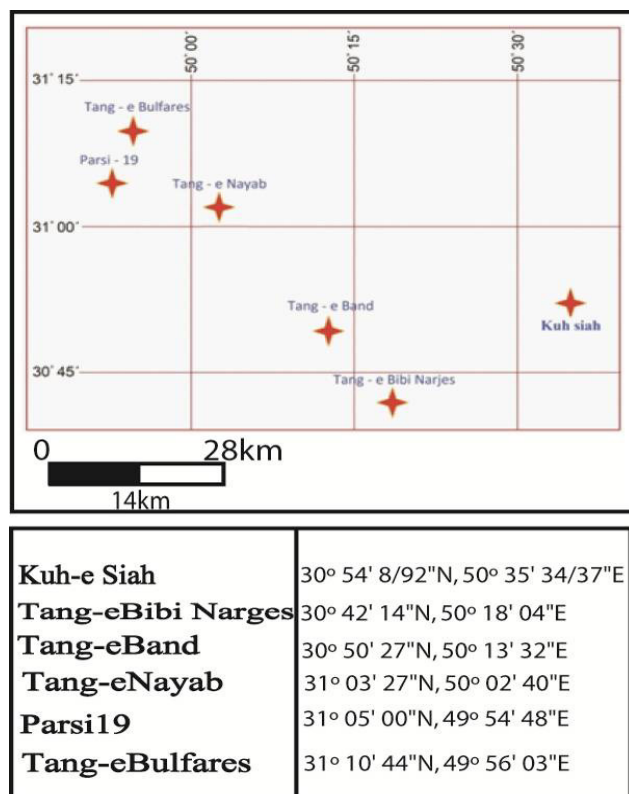
مادستون با بایوکلاست دار نشانگر پائین آمدن ناگهانی سطح نسبی آب دریا و تشکیل مرز سکانس نوع دوم (SB<sub>2</sub>) است.

#### سکانس رسوبی پنجم

این سکانس درون بیوزون *Borelis melocurdica*, *Meandropsina iranica* ون بوخم و همکاران (۲۰۱۰) سن بوردیگالین را نشان می‌دهد. ضخامت این سکانس ۳۲/۱ متر در است. سکانس فوق با پیشروی مجدد دریا و انباشتگی عمودی ریزرساره‌های لاغون مشخص می‌گردد. شواهد سنگ‌شناسی و ریزرساره‌ای مشخصی که نشانگر عمیق شدگی یا کم عمق شدگی به سمت بالا باشد، در این سکانس مشاهده نمی‌شود. بنابراین نمی‌توان ریزرساره‌های متعلق به (TST) و (HST) را از یکدیگر تفکیک نمود.

#### تطابق سکانس‌ها

در این بخش سکانس‌های تشخیص داده شده در برش مورد مطالعه (یال جنوبی تاقدیس کوه سیاه) و برش‌های



شکل ۷. موقعیت مکانی تطابق داده شده سازنده آسماری در برش کوه سیاه در زون ایده، تنگ بی نرجس، تنگ بند، تنگ نایاب، تنگ بولفارس در زون ایده و چاه پارسی ۱۹ در فروافتادگی دزفول [۱].

این سکانس در همه برش‌ها دیده شده است و مرز زیرین آن اندکی پیش از ظهور *Borelis melocurdica* می‌باشد و مرز فوقانی آن با ایندریت سازند گچساران مشخص می‌شود. در تمامی برش‌ها در زمان تهنشست این سکانس شرایط رسوب‌گذاری یکسانی وجود داشته و مشکل از ریزرساره‌های تالاب می‌باشد. ضخامت این سکانس از جهت جنوب‌شرق به سمت شمال‌شرق افزوده گردیده به طوری که در تنگ بی بی نرجس کمترین ضخامت و در تنگ بولفارس بیشترین ضخامت را دارد.

این روند با مطالعات [۴۲] مطابقت دارد. بر اساس نتایج آن‌ها در زمان بوردیگالین در اثر پدیده کچشیدگی (Tilting) حوضه رسوبی آسماری به سمت شمال حوضه (نواحی ایده و کتلولا) عمیق و به سمت جنوب (کوه میش و خامی) کم عمق شده است.

### نتیجه‌گیری

بررسی ریزرساره‌ها حاکی از آن است توالی سازند آسماری در برش مورد مطالعه در یک پلاتفرم کربناته از نوع رمپ و در چهار کمریند ریزرساره‌ای پهنه جزرومدی، تالاب، سد و دریایی باز نهشته شده است. بر اساس الگوی عمیق شدگی، کم عمق شدگی و پخش و گسترش وزن‌داران پنج سکانس رسوبی رده سوم تشخیص داده شده است. این سکانس‌ها با سکانس‌های تشخیص داده شده در سایر نواحی زاگرس مطابقت نسبی دارد.

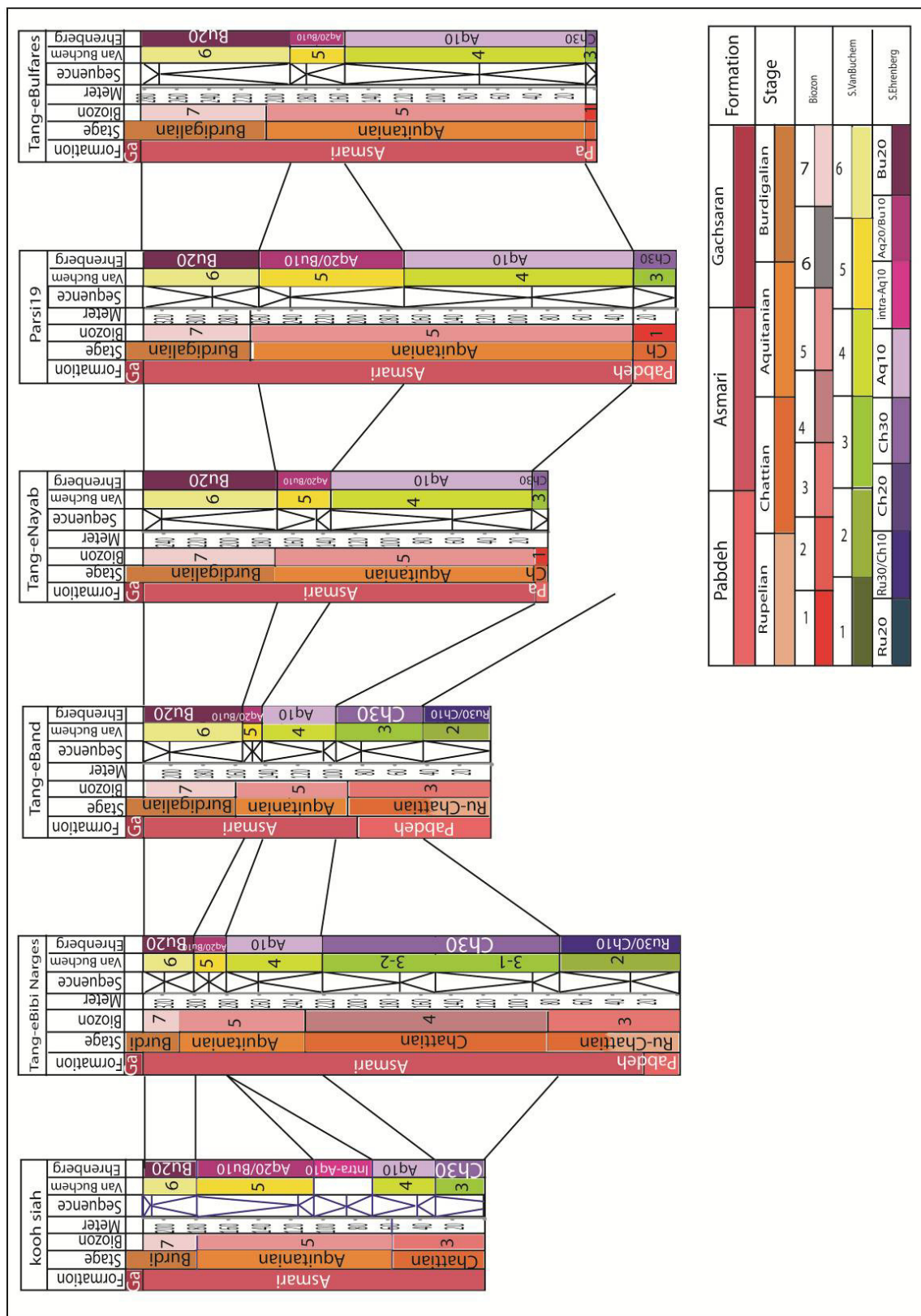
سکانس ۲ به سن آکیتانین با سکانس IV [۴۲] و سکانس SB Aq 10 [۲۱] مطابقت دارد. این سکانس در هر ۶ برش دیده شده است. مرز پایینی این سکانس در برش‌های نایاب، پارسی ۱۹ و بولفارس ایندریت قاعده آسماری، در تنگ بی بی نرجس استرماتولیت، در تنگ بند سطح فرسایشی [۱] و در تاقدیس کوه سیاه با ریزرساره ۷ از شلف درونی مشخص می‌شود. بیشترین بالا آمدگی نسبی سطح آب دریا (mfs) این سکانس در تنگ نایاب، بولفارس، ۱۹ پارسی و تاقدیس کوه سیاه با گسترش فرامینی‌فرهای پلانکتونیک، در تنگ بند با ریزرساره گرینستون فاورینا و در تنگ بی بی نرجس با ریزرساره پکستون - گرینستون ائیدی مشخص می‌شود.

مرز بالایی این سکانس در برش‌های تنگ بی بی نرجس، بند و نایاب با سطح برشی و در تنگ بولفارس با مادستون لامینه‌دار و در چاه پارسی ۱۹ با ریزرساره مادستون [۱] و در تاقدیس کوه سیاه با ریزرساره کم عمق بایوکلاستیک نفوروتالیا میلیولیدا و کستون ماسه‌ای از شلف درونی (ریزرساره ۹) مشخص می‌شود.

سکانس ۳ با سکانس Intra-Aq10 [۲۱] به سن آکیتانین قابل تطابق بوده و معادلی با سکانس‌های [۴۲] ندارد. این سکانس تنها در برش تاقدیس کوه سیاه دیده شده است.

سکانس ۴ معادل با سکانس V [۴۲] و سکانس Aq20/Bu10SB [۲۱] به سن آکیتانین پسین می‌باشد. مرز زیرین این سکانس در برش‌های تنگ بی بی نرجس، بند و نایاب با سطح برشی، در تنگ بولفارس با مادستون لامینه‌دار، در چاه پارسی ۱۹ با ریزرساره مادستون [۱] و در تاقدیس کوه سیاه با ریزرساره کم عمق (بایوکلاستیک نفوروتالیا میلیولیدا و کستون ماسه‌ای) مشخص می‌شود. مرز فوقانی این سکانس در تاقدیس کوه سیاه با ریزرساره کم عمق (مادستون به همراه خردکهای بایوکلاست) و در دیگر برش‌ها با روند کم عمق شدگی ریزرساره‌ها که به ریزرساره مادستونی ختم می‌شود شناسایی شده است. با مقایسه این سکانس در همه برش‌ها مشخص می‌شود که در زمان اکیتانین پسین شرایط رسوب‌گذاری یکسانی در نواحی مختلف وجود داشته است. ریزرساره‌های تشکیل‌دهنده این سکانس در همه برش‌ها از ریزرساره‌های تالاب تشکیل شده‌اند.

سکانس ۵ با سکانس VI [۴۲] و سکانس Bu2o SB [۲۱] به سن بوردیگالین قابل تطابق می‌باشد.



شکل ۸. تطابق عرضی سکانس‌های سازند آسماری در برش مورد مطالعه با برش‌های تنگ بی بی نرجس، تنگ بند، تنگ نایاب، چاه پارسی و تنگ بولفارس [۱]

جدول ۱. ریزرساره‌های شناسایی شده در سازند آسماری در برش مورد مطالعه

ردیف	سامی ریزرساره	محیط تشکیل
۱	پلانکتونیک فرامینیفرا با یوکلاستیکوکسٹون	رمپ خارجی
۲	پلانکتونیک فرامینیفرا پلوئیدال نومولیتید با یوکلاستیک و کسٹون/پکسٹون	محیط دور رمپ میانی
۳	با یوکلاستیک رو دلیت/مرجان لپیدوسیکلینا فلوتسن- رو دستون	محیط میانی رمپ میانی
۴	با یوکلاستیکلپیدوسیکلینا رو دستون	محیط نزدیک رمپ میانی
۵	فرامینیفرا (بدون منفذ) ائید گرینستون	محیط سد
۶	پلوئید پکسٹون	laggon باز
۷	با یوکلاستیک فرامینیفرا (منفذ دار و بدون منفذ) و کسٹون- پکسٹون	laggon نیمه محصور
۸	با یوکلاستیک پلوئیدال فرامینیفرا (بدون منفذ) پکسٹون- گرینستون اینترکلاست دار	laggon محصور
۹	با یوکلاست نئوروتالیا میلیولید و کسٹون ماسه ای	بخش انتهایی laggon محصور
۱۰	: مادستون به همراه خرد های یوکلاست	محیط داخلی بلت فرم نزدیک ساحل
۱۱	استروماتولیت باندستون	پهنه جزر و مدب

- [9] Amirshahkarami, M., Vaziri-Moghaddam, H. and Taheri, A (2007) Sedimentary facies and Sequence stratigraphy of the Asmari Formation at the Chaman-Bolbol, Zagros Basin, Iran, Journal of Asian Earth Science.v. 29p. 947-959.
- [10] Amirshahkarami, M., Ghabishavi, A. and Rahmani, A (2010) Biostratigraphy and Paleoenvironment of the larger benthic foraminifera in wells section of the Asmari Formation from Rag-e-Safid oil field, Zagros Basin, southwest Iran, Stratigraphy and Sedimentology Researches.v. 40p. 63-84.
- [11] Barattolo, F., Bassi, D. and Romero, R (2007) Upper Eocene larger foraminiferal-coralline algal facies from the Klokova Mountain, south continental Greece. Facies, 53, 361-375.
- [12] Beavington-Penney, S.J. and Racey, A (2004) Ecology of extant nummulitids and other larger benthic foraminifera, applications in palaeoenvironmental analysis. Earth-Science Reviews, 67, 219-265.
- [13] Brandano, M., Corda, L (2002) Nutrients, sea level and tectonics: constraints for the facies architecture of a Miocene carbonate ramp in central Italy, Terra Nova.v. 14p. 257-262.
- [14] Burchette, T.P. Wright, V.P (1992) Carbonate ramp depositional systems, Sedimentary Geology.v. 79p. 3-57.
- [15] Buxton, M.W.N., Pedley, H.M (1989) A standardized model for Thethyan Tertiary carbonate ramps, London, Journal of the Geological Society.v. 146p. 746-748.
- [16] Catuneanu, O., Abreu, V. Bhattacharya, J.P. Blum, M.D. Dalrymple, R.W. Eriksson, P.G. Fielding, C.R. Fisher, W.L. Galloway, W.E. Gibling, M.R. Giles, K.A. Holbrook, J.M. Jordan, R. Kendall, C.G.S.C. Macurda, B. Martinsen, O.J. Miall, A.D. Neal, J.E.

## منابع

- [۱] رحمانی، ع (۱۳۹۰) چینه‌شناسی سازند آسماری در تاقدیس‌های بنگستان و خویز و میدان نفتی پارسی، رساله‌ی دکتری چینه‌شناسی و فسیل‌شناسی، دانشگاه اصفهان، ۲۱۰ ص.
- [۲] کلنات، ب، وزیری‌مقدم، ح، طاهری، ع (۱۳۸۹) زیست چینه نگاری و پالئوکلولوژی سازند آسماری در جنوب غرب فیروز آباد. ریزرساره‌های رسوبی، جلد ۳، صفحه ۸۴-۷۱.
- [۳] مطیعی، ه (۱۳۷۲) زمین‌شناسی ایران، چینه‌شناسی زاگرس. انتشارات سازمان زمین‌شناسی کشور، ۵۳۶ ص.
- [۴] مؤسسه‌ی گرافی‌ایرانی، کارتوجرافی گیتاشناسی (۱۳۸۴) اطلس راه‌های ایران، مقیاس ۱:۱۰۰۰۰۰
- [۵] Adams, T.D., Bourgeois, F (1967) Asmari biostratigraphy, Geological and Exploration, Iranian Offshore Oil Company Report. no. 1074, (unpublished).
- [۶] Aguilera-Franco, N., Hernández-Romano, U (2004) Cenomanian-Turonian facies succession in the Guerrero-Morelos Basin, Southern Mexico, Sedimentary Geology, v. 170 p. 135-162.
- [۷] Allahkarampour Dill, M., Seyrafian, A. and Vaziri-Moghaddam, H (2010) The Asmari Formation, north of the Gachsaran (Dill anticline), southwest Iran: facies analysis, depositional environments and sequence stratigraphy, Carbonates and Evaporites.v. 25 p. 145-160.
- [۸] Allahkarampour Dill, M., Seyrafian, A. and Vaziri-Moghaddam, H (2012) Palaeoecology of the Oligocene-Miocene Asmari Formation in the Dill Anticline, Zagros Basin, Iran, Neues. Jahrbuch für geologie und paläontologie. V. 263 p. 167-184.

- Cenomanian-Turonian of the Guerrero-Morelos platform, southern Mexico, United Kingdom, University of Reading, Postgraduate Research Institute for Sedimentology, Ph.D, Thesis, 322p.
- [28] Hottinger, L (1997) Shallow benthic foraminiferal assemblages as signals for depth of their deposition and their limitations, *Geology France*.v. 168 p. 491–505.
- [29] James, G.A. Wynd, J.G (1965) Stratigraphic nomenclature of Iranian Oil Consortium Agreement Area, AAPG Bulletin.v. 49 p. 2182-2245.
- [30] Lasemi, Y (1995) Platform carbonates of the Upper Jurassic Mozduran Formation in the KopehDagh Basin, NE Iran-facies, palaeoenvironments and sequences, *Sedimentary Geology*. v. 99 p. 151-164.
- [31] Mossadegh, Z.K., Haig, D.W., Allan, T., Adabi, M.H. and Sadeghi, A (2009) Salinity changes during Late Oligocene to Early Miocene Asmari Formation deposition, Zagros Mountains,Iran, *Palaeogeography, Palaeoclimatology, Palaeoecology*.v. 272 p.17-36.
- [32] Nebelsick, J.H., Rasswe, M. and Bassi, D (2005) Facies dynamic in Eocene to Oligocene Circumalpine carbonates, *Facies*. v. 51 p. 197–216.
- [33] Pomar, L (2001a) Types of carbonate platforms: a genetic approach, *Basin Research*. v.13 p. 313-334.
- [34] Pomar, L (2001b) Ecological control of sedimentary accommodation, evolution from a carbonate ramp to rimmed shelf, Upper Miocene, Balearic Islands, *Palaeogeography, Palaeoclimatology, Palaeoecology*. v. 175 p. 249-272.
- [35] Rahmani, A., Vaziri-Moghaddam, H., Taheri, A. and Ghabeishavi, A (2009) A model for the paleoenvironmental distribution of larger foraminifera of Oligocene-Miocene carbonate rocks at Khaviz Anticline, Zagros Basin, SW Iran, *Historical Biology*. V. 21 p. 215-227.
- [36] Rasser, M., Scheibner, C. and Mutti, M (2005) A paleoenvironmental standard section for Early Ilerdian tropical carbonate factories, (Corbieres, France; Pyrenees, Spain): *Facies*. v. 51 p. 218-232.
- [37] Reiss, Z. Hottinger, L (1948) The Gulf of Aqaba: ecological micropaleontology, Springer, Berlin Heidelberg New York, 345p.
- [38] Sadeghi R., Vaziri-Moghaddam, H. and Taheri, A(2010) Microfacies and sedimentary environment of the Oligocene sequence (Asmari Formation) in Fars sub-basin, Zagros Mountains, southwest Iran, Springer-Verlag. v. 57 p. 431-446.
- [39] Steinhauff, D.M., and Walker, K.R (1996) Sequence stratigraphy of an apparently non-
- Nummedal, D. Pomar, L. Posamentier, H.W. Pratt, B.R. Sarg, J.F. Shanley, K.W. Steel, R.J. Strasser, A. Tucker, M.E. and Winker, C (2009) Towards the standardization of sequence stratigraphy, *Earth-Science Reviews*.v. 92p. 1-33.
- [17] Catuneanu, O., Bhattacharya, J.P. Blum, M.D. Dalrymple, R.W. Eriksson, P.G. Fielding, C.R. Fisher, W.L. Galloway, W.E. Gianolla, P. Gibling, M.R. Giles, K.A. Holbrook, J.M. Jordan, R. Kendall, C.G.S.C. Macurda, B. Martinsen, O.J. Miall, A.D. Neal, J.E. Nummedal, D. Pomar, L. Posamentier, H.W. Pratt, B.R. Shanley, K.W. Steel, R.J. Strasser, A. and Tucker, M.E (2010) Sequence stratigraphy: common ground after three decades of development, *Stratigraphy*.v. 28 p. 21-33.
- [18] Corda, L., Brandana, M (2003) Aphotic zone carbonate production on a Miocene ramp, Central Apennines, Italy, *Sedimentary Geology*.v. 161 p. 55-70.
- [19] Cosovic, V., Drobne, K. and Moro, A (2004) Paleoenvironmental model for Eocene foraminiferal limestones of the Adriatic carbonate platform, Istrian Peninsula, *Facies*.v. 50 p. 61-75.
- [20] Dunham, R.J (1962) Classification of carbonate rocks according to their depositional texture, AAPG Memoir.v. 1p. 108-121.
- [21] Ehrenberg, S.N., Pickard, N.A.H., Laursen, G.V., Monibi, S., Mossadegh, Z.K., Svana,T.A., Agrawi, A.A.M., McArthur, J.M. and Thirlwall, M.F (2007) Strontium isotope stratigraphy of the Asmari Formation (Oligocene – Lower Miocene), SW Iran, *Journal of Petroleum Geology*.v. 30 p. 107-128.
- [22] Embry, A.F. and Klovan, J.E (1971) A Late Devonian reef tract on Northeastern Banks Island, NWT Canadian Petroleum Geology Bulletin. v.19 p. 730-781.
- [23] Flugel, E (2010) *Microfacies Analysis of Carbonate Rocks, Interpretation and application*, Springer-Verlag, Berlin, 976p.
- [24] Geel, T (2000) Recognition of stratigraphic sequence in carbonate platform and slope deposits, empirical models based on microfacies analysis Palaeogene deposits in southeastern Spain, *Palaeogeography*.p.211-238.
- [25] Hallock, P., Glenn, E.C (1986) Larger foraminifera: A tool for paleoenvironmental analysis of Cenozoic depositional facies, *Palaios*.v. 1 p. 55– 64.
- [26] Hardie, L.A (1986) Ancient carbonate tidal flat deposits, *Quarterly Journal of the Colorado School of Mines*. v. 81 p. 37-57.
- [27] Hernández-Romano, U (1999) Facies stratigraphy and diagenesis of the

cyclic carbonate succession: recognizing subaerial exposure in largely subtidal, Middle Ordovician stratigraphic sequence in eastern Tennessee, in Witzka, G.A., Ludvingson, J.E., Day, B.J. (eds.), Paleozoic Sequence Stratigraphy, Views from the North American Craton, Geological Society of America, Special Paper. v. 306 p. 87-115.

- [40] Taheri, A., Vaziri-Moghaddam, H. and Seyrafian, A (2008) Relationships between foraminiferal assemblages and depositional sequences in Jahrum Formation, Ardal area (Zagros Basin, SW Iran), Historycal biology. V. 20 p. 191-201.
- [41] Thomas, A.N (1948) The Asmari limestone of southwest Iran. National Iranian Oil Company, Report 706, unpublished.
- [42] van Buchem, F.S.P., Allan, T.L., Laursen, G.V., Lotfpour, M., Moallemi, A., Monibi, S., Motiei, H., Pickard, N.A.H., Tahmasbi, A.R., Vedrenne, V. and Vincent, B (2010) Regional stratigraphic architecture and reservoir types of the Oligo-Miocene deposits in the Dezful Embayment (Asmari and Pabdeh Formations) SW Iran. Geological Society, London, Special Publications. v. 329 p. 219-263.
- [43] Vaziri-Moghaddam, H., Kimiagari, M. and Taheri, A (2006) Depositional environment and sequence stratigraphy of the Oligocene-Miocene Asmari Formation in SW Iran, Lali Area, Facies. v. 52 p. 41-51.
- [44] Vaziri-Moghaddam, H., Seyrafian, A., Taheri A. and Motiei, H (2010) Oligocene-Miocene ramp system (Asmari Formation) in the NW of the Zagros Basin, Iran: Microfacies, paleoenvironment and depositional sequence, Revista Mexicana de CienciasGeológicas. v. 27 p. 56-71.
- [45] Wilson, J.L (1975) Carbonate facies in geological history, New York, Springer-Verlag, 471p.